

10 Multimedia-Retrieval

Ziel:

Ähnlichkeitssuche auf multimedialen Datenobjektmengen
(Bildern, Videos, Audios, etc.)
aufgrund spezifischer Features
(z.B. Farben, Konturen, Texturen in Bildern)

Problemkreise:

- Feature-Auswahl und Feature-Extraktion
- Effiziente Suche
 - Ähnlichkeitsfilter
- Mehrdimensionale Indexstrukturen

Feature-Auswahl und Ähnlichkeitsmaße: einfache Beispiele

Audiosignale sind im einfachsten Fall diskret abgetastete Zeitreihen der Signalamplituden \vec{x}

$$\rightarrow \text{dist}(\vec{x}, \vec{y}) = (\vec{x} - \vec{y}) \cdot (\vec{x} - \vec{y})^T = \sum_{i=1}^m (x_i - y_i)^2$$

Farbbilder können im einfachsten Fall durch die Häufigkeitsverteilung der Farben unter den Pixeln (von Bildteilen) charakterisiert werden (Farbhistogramme)

$$\rightarrow \text{dist}(\vec{x}, \vec{y}) = (\vec{x} - \vec{y}) \cdot A \cdot (\vec{x} - \vec{y})^T = \sum_{i=1}^m \sum_{j=1}^m A_{ij} (x_i - y_i) (x_j - y_j)$$

mit einer $m \times m$ -Farb-Farb-Ähnlichkeitsmatrix A

Die Ähnlichkeitsmaße müssen keine Vektorraumnormen sein (z.B. Algorithmen für Ähnlichkeit von Fingerabdrücken), sollten aber Metriken sein mit $\text{dist}(x, y) \leq \text{dist}(x, z) + \text{dist}(z, y)$

Effizienzprobleme

Berechnung der Ähnlichkeit zwischen Query und einem Kandidaten hat u.U. sehr großen Rechenaufwand
(Beispiel: Farbverteilungssähnlichkeit mit 65536 Farben)
→ Ähnlichkeitsfilter

A priori sind alle Dokumente Kandidaten, so daß bei n Dokumenten n Ähnlichkeitsberechnungen durchgeführt werden müssen (I/O- und Berechnungsaufwand eines sequentiellen Scans)
→ Mehrdimensionale Indexstrukturen oder Signaturen o.ä.

Ähnlichkeitsfilter

Für Feature-Raum F (z.B. $(R_0^+)^m$) finde effizient berechenbare Funktion $f: F \times F \rightarrow [0,1]$, so daß für alle $x, y \in F$ und alle ε gilt:

$$\text{dist}(x, y) < \varepsilon \Rightarrow f(x, y) < \varepsilon,$$

also: $f(x, y) \leq \text{dist}(x, y)$

Algorithmus:

- 1) Für Schwellwert ε bestimmme diejenigen Datenobjekte c aus der gesamten Datenkollektion, für die $f(q, c) < \varepsilon$
- 2) Für alle in Schritt 1 ausgewählten Kandidaten c teste $\text{dist}(q, c) < \varepsilon$

Ähnlichkeitsfilter für Signalvektoren-Ähnlichkeit

Für Signalvektoren $\vec{x}, \vec{y} \in R^m$

$$\text{mit } dist(\vec{x}, \vec{y}) = (\vec{x} - \vec{y}) \cdot (\vec{x} - \vec{y})^T = \sum_{i=1}^m (x_i - y_i)^2$$

wende **Diskrete Fourier-Transformation (DFT)** an:

$$\hat{x}_\nu = \frac{1}{\sqrt{m}} \sum_{k=1}^m x_k e^{-i2\pi k \nu / m} = \frac{1}{\sqrt{m}} \sum_{k=1}^m x_k \cos(-2\pi k \nu / m) + i \sin(-2\pi k \nu / m)$$

$$\text{mit } i = \sqrt{-1}, \nu = 1, 2, \dots, m$$

$$x_\nu = \frac{1}{\sqrt{m}} \sum_{k=1}^m \hat{x}_\nu e^{-i2\pi k \nu / m}$$

$$\text{Theorem von Parseval: } \|\vec{x}\|^2 = \sum_{k=1}^m |x_k|^2 = \sum_{k=1}^m |\hat{x}_\nu|^2 = \|\vec{\hat{x}}\|^2$$

Es folgt für alle $h \leq m$: $f(\vec{x}, \vec{y}) = \sum_{k=1}^h \hat{x}_k - \hat{y}_k ^2 \leq \sum_{k=1}^m x_k - y_k ^2 = dist(\vec{x}, \vec{y})$
--

Ähnlichkeitsfilter für Farbhistogramm-Ähnlichkeit

Anstelle kompletter Farbhistogramme kann man die mittleren Rot-, Grün- und Blauanteile eines Bildes (mit N Pixeln) in einer Filterfunktion f verwenden:

$$R(\vec{x}) = \frac{1}{N} \sum_{p=1}^N R(p) \quad G(\vec{x}) = \frac{1}{N} \sum_{p=1}^N G(p) \quad B(\vec{x}) = \frac{1}{N} \sum_{p=1}^N B(p)$$

$$f(\vec{x}, \vec{y}) = (R(\vec{x}) - R(\vec{y}))^2 + (G(\vec{x}) - G(\vec{y}))^2 + (B(\vec{x}) - B(\vec{y}))^2$$

Es gilt: $f(\vec{x}, \vec{y}) \leq \alpha * dist(\vec{x}, \vec{y}) = \alpha (\vec{x} - \vec{y}) A (\vec{x} - \vec{y})^T$
mit einer von A abhängigen Konstanten a

Mehrdimensionale Indexstrukturen für Ähnlichkeitsuche: R-Bäume (1)

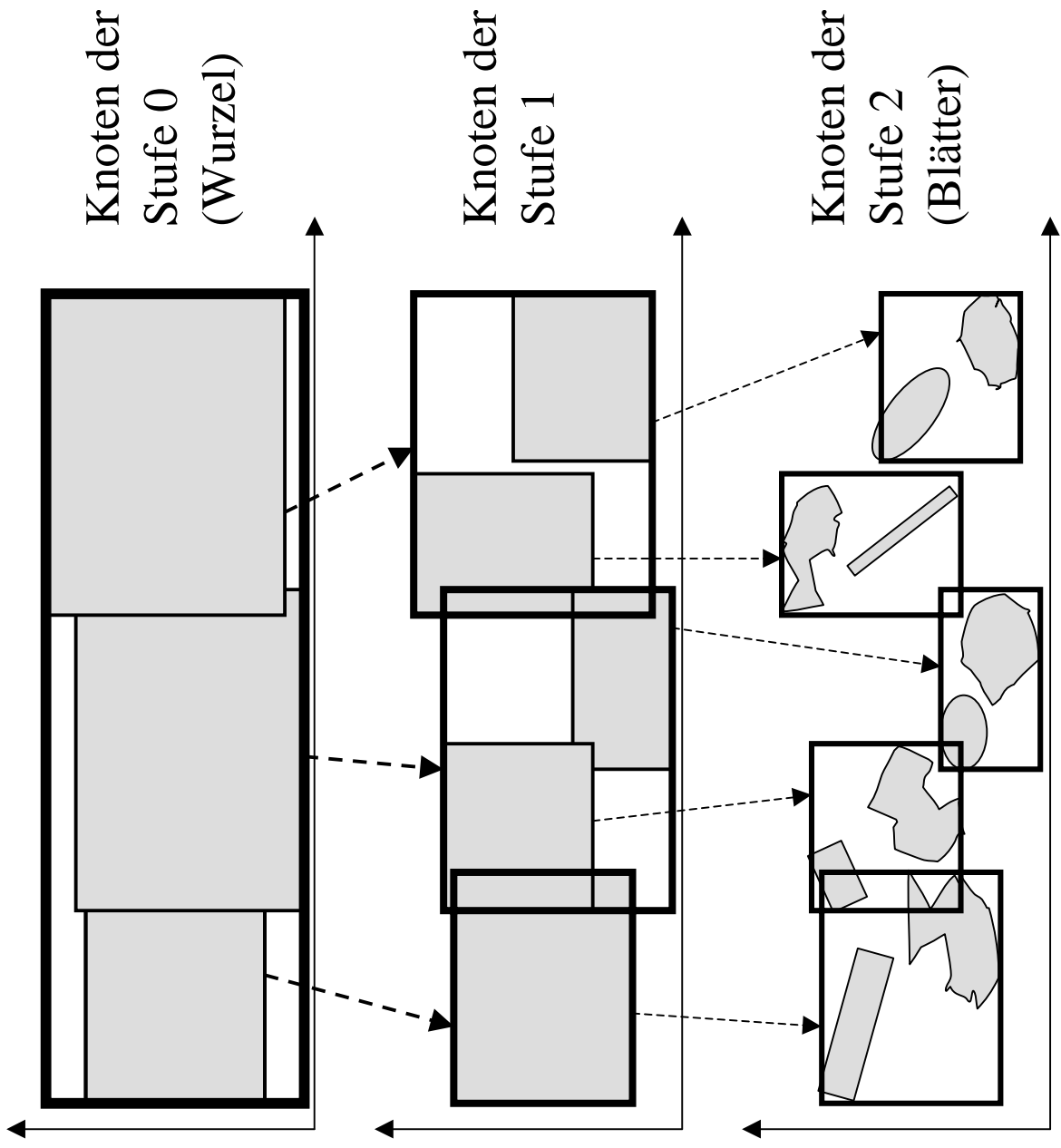
Ein R-Baum ist ein balancierter, hohler Mehrwegebaum, der mehrdimensionale Datenobjekte (Punktdaten wie z.B. Feature-Vektoren oder „ausgedehnte“ Objekte wie Polygone) und Wegweiser als achsenparallele, umschreibende Rechtecke (MBRs: minimum bounding rectangles, bounding box) repräsentiert.

Ein MBR kann durch die Koordinaten des „linken unteren“ Punktes und des „rechten oberen“ Punktes beschrieben werden.

Invarianten des R-Baums sind:

- Ein Wegweiser in einem Nichtblattknoten ist das MBR des Teilbaums, auf den der Wegweiser zeigt.
- Das MBR eines Teilbaums ist das MBR aller MBRs in dem Teilbaum.

Mehrdimensionale Indexstrukturen für Ähnlichkeitssuche: R-Bäume (2)



Suchen auf R-Bäumen (1)

Mehrdimensionale Bereichsanfrage („Fenstersuche“)
mit Anfrage-MBR q:

Finde alle Datenobjekte x, die sich mit q schneiden
oder in q enthalten sind.

Algorithmus:

t := Wurzel des R-Baums;

search (q, t);

mit Prozedur

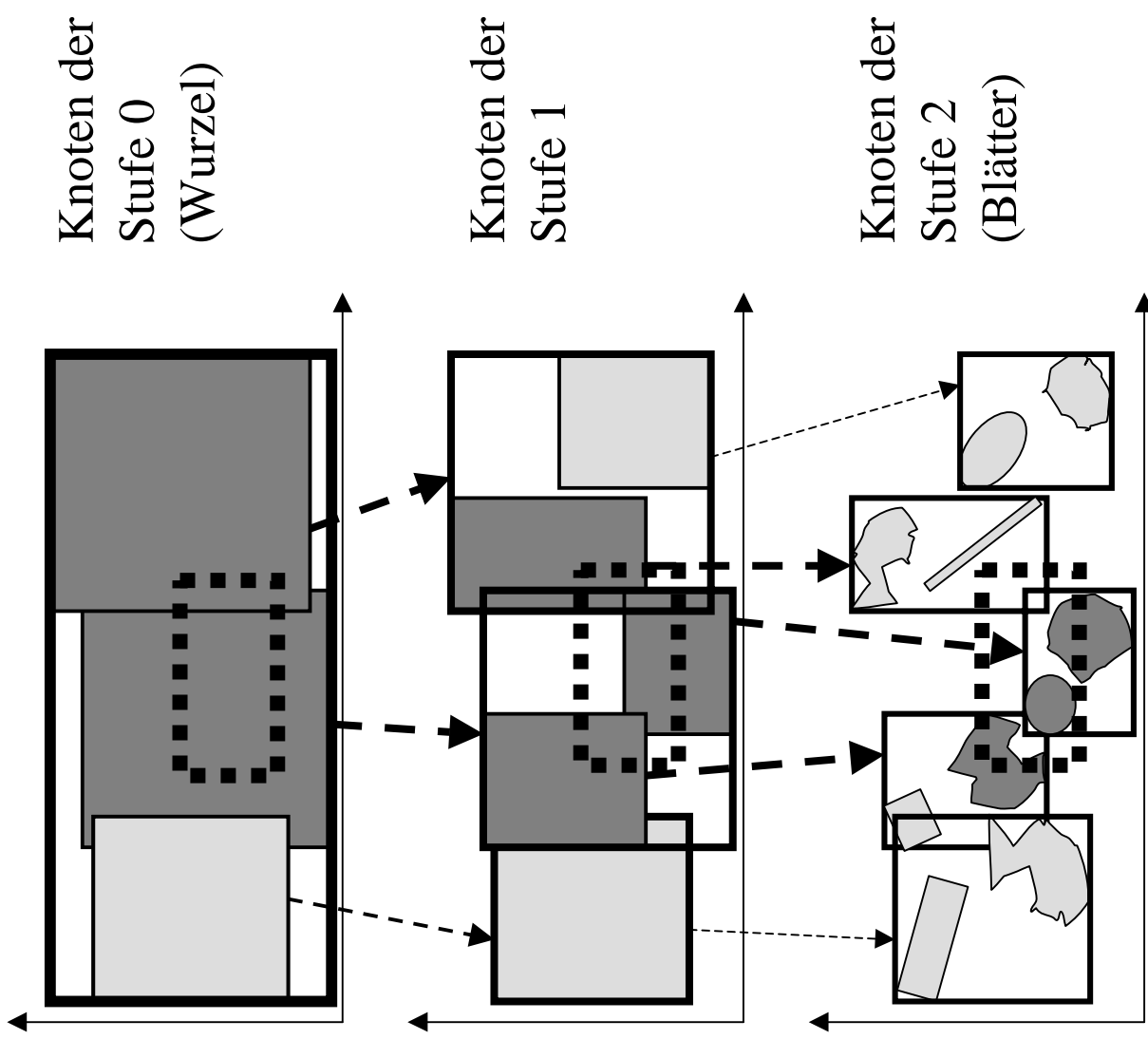
search (q, n):

if n ist ein Blatt ist then

Gebe alle x in n aus,
die sich mit q schneiden oder in q enthalten sind
else

T:= die Menge aller Wegweiser-MBRs in Knoten n,
die sich mit q schneiden;
for each t in T do search (q, t) od;
fi

Suchen auf R-Bäumen (2)



Bottom-Up-Aufbau eines R-Baums (1)

Gegeben: n Datenpunkte $x_1, \dots, x_n \in [0, 1]^m$
(z.B. die Mittelpunkte der MBR der Datenobjekte)

Betrachte ein m-dimensionales Gitter $R = \{i/k \mid i=0, \dots, k-1\}^m$ mit k Zellen pro Dimension, wobei k eine Zweierpotenz 2^d ist, und eine raumfüllende Kurve $\Psi: R \rightarrow \{0, 1, \dots, k^m\}$, so daß Ψ bijektiv und soweit wie möglich distanzbewahrend ist

Ladealgorithmus:

- 1) Sortiere x_1, \dots, x_n aufsteigend nach ihren Positionen $\Psi(x_1), \dots, \Psi(x_n)$
- 2) Fasse eine passende Anzahl bzgl. dieser Sortierung aufeinanderfolgender Datenpunkte zu einem Blattknoten zusammen.
- 3) Konstruiere die Baumknoten oberhalb der Blattbene in Bottom-up-Weise.

Bottom-Up-Aufbau eines R-Baums (2)

Geeignete raumfüllende Kurven (aus der Familie der Fraktale):

Peano-Kurve (Z-Kurve):

Für einen Punkt x mit binär codierten Gitterkoordinaten

x_{11}, \dots, x_{1d} (in der 1. Dimension), ...

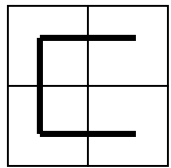
x_{m1}, \dots, x_{md} (in der m . Dimension)

ist $\psi(x) = x_{11} x_{21} \dots x_{m1} x_{12} \dots x_{m2} \dots x_{m1} \dots x_{md}$

(bitweise Verschränkung)

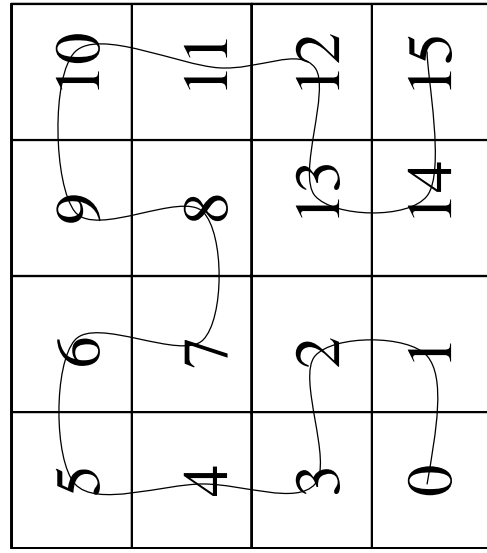
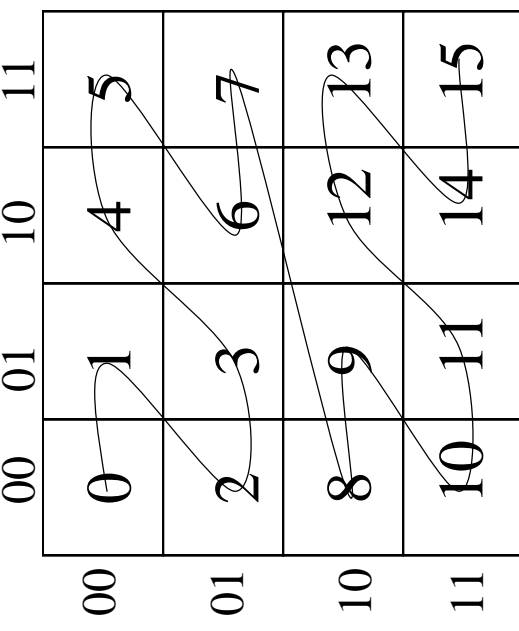
Hilbert-Kurve:

H_1 auf 2×2 -Gitter:



H_i auf $2^i \times 2^i$ -Gitter:

H_1 -Kurve auf oberster Stufe
mit geeignet rotierter oder gespiegelter
 $H(i-1)$ -Kurve in jedem Viertel



Einfügen in R-Bäume (1)

Einfügen eines MBRs b (eines neuen Datenobjekts):

t := Wurzel des R-Baums;

insert (b, t);

mit Prozedur

insert (b, n);

if n ist ein Blatt then

Füge b in n ein, berechne das MBR von b neu und aktualisiere den Wegweiser im Vater von n;

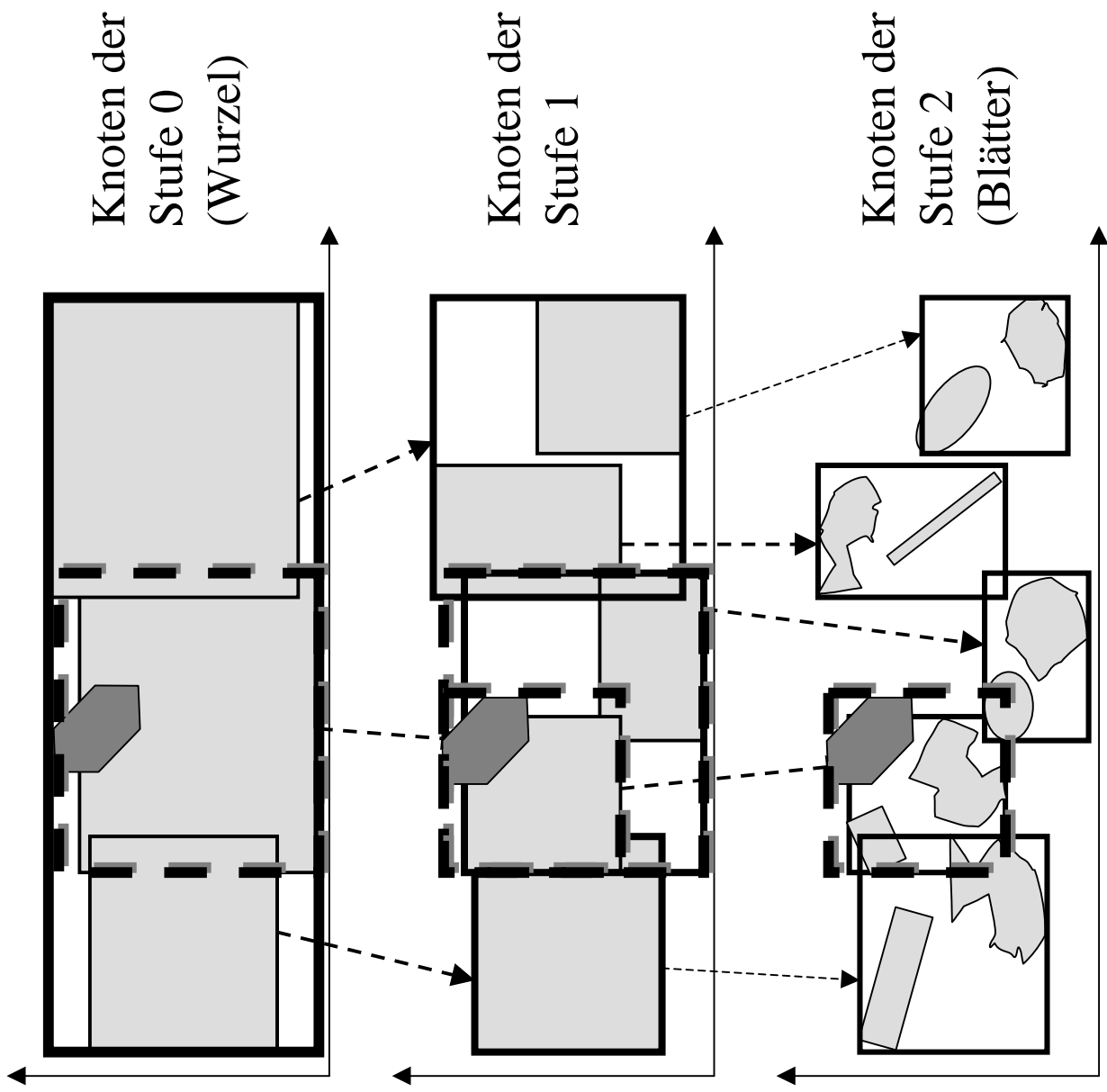
Falls n übergelaufen ist, teile n in zwei Knoten auf (Split);

else

Bestimme unter allen Wegweiser-MBRs in n das günstigste MBR t (z.B. bezüglich der Differenz des Hypervolumens oder Umfangs des MBRs von t \cup b gegenüber t);
insert (b, t);
Aktualisiere ggf. das MBR von n;

fi

Einfügen in R-Bäume (2)



Split eines R-Baum-Knotens

Teile MBRs eines Knotens n (Datenobjekte oder Wegweiser) so auf zwei Knoten n und n' auf, daß

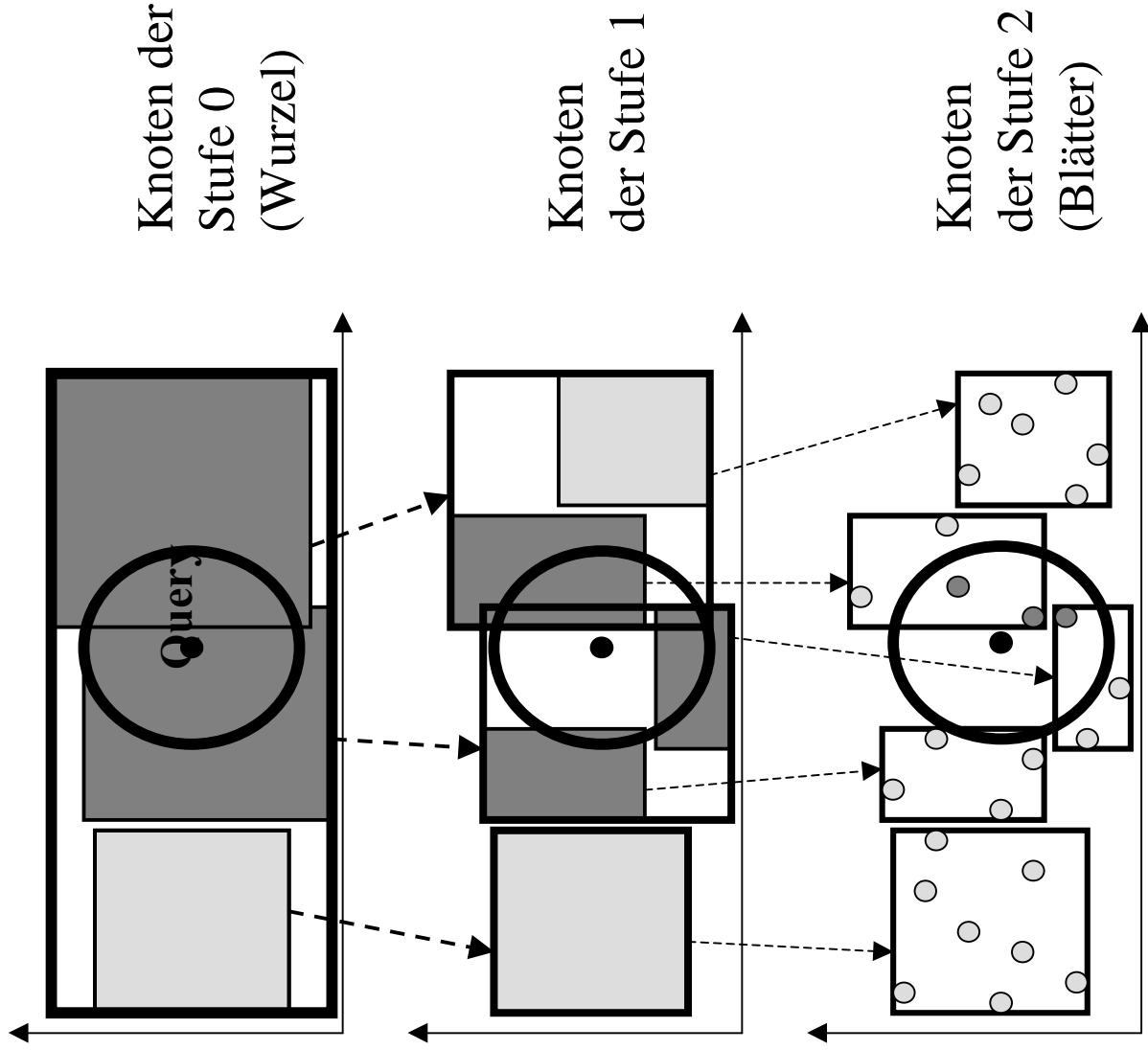
- 1) die Summe der Hypervolumen oder Umfänge von n und n' möglichst klein wird und
- 2) die Platzauslastung von n und n' nicht unter einen Mindestschwellwert sinkt.

Heuristiken:

Berechne 2 Cluster für die MBRs des ursprünglichen Knotens n
oder:

Bestimme unter den MBRs in n zwei Saat-MBRs s und s' (z.B. diejenigen mit maximaler Distanz unter allen Paaren) und ordne MBR x in n je nach Distanz s oder s' zu
Speichere alle s zugeordneten MBRs in n und alle s' zugeordneten MBRs in n'

ϵ -Ähnlichkeitssuche auf R-Bäumen



Top-Down-Suche
nach allen Teilbäumen,
die sich mit einer
Hypersphäre mit
Mittelpunkt q und
Radius ϵ schneiden
(ggf. approximiert
durch Suche nach MBR
der Hypersphäre)

N-Nearrest-Neighbor-Suche auf R-Bäumen (1)

Finde die N nächsten Nachbarn zu einem Punkt q

Algorithmus:

NN: array [1..N] of record point: pointtype; dist: real end;

for i:=1 to N do NN[i].dist := ∞ od;

repeat

priority queue Q := Wurzel t;

Knoten n := first(Q);

if n ist ein Blatt then

for each p in n do if dist(p,q) < max(NN[1..N].dist)
then nehme p in NN auf fi od;

else

for each Wegweiser-MBR b in n do

lowerbound := dist (q, nächster Punkt von MBR(n));

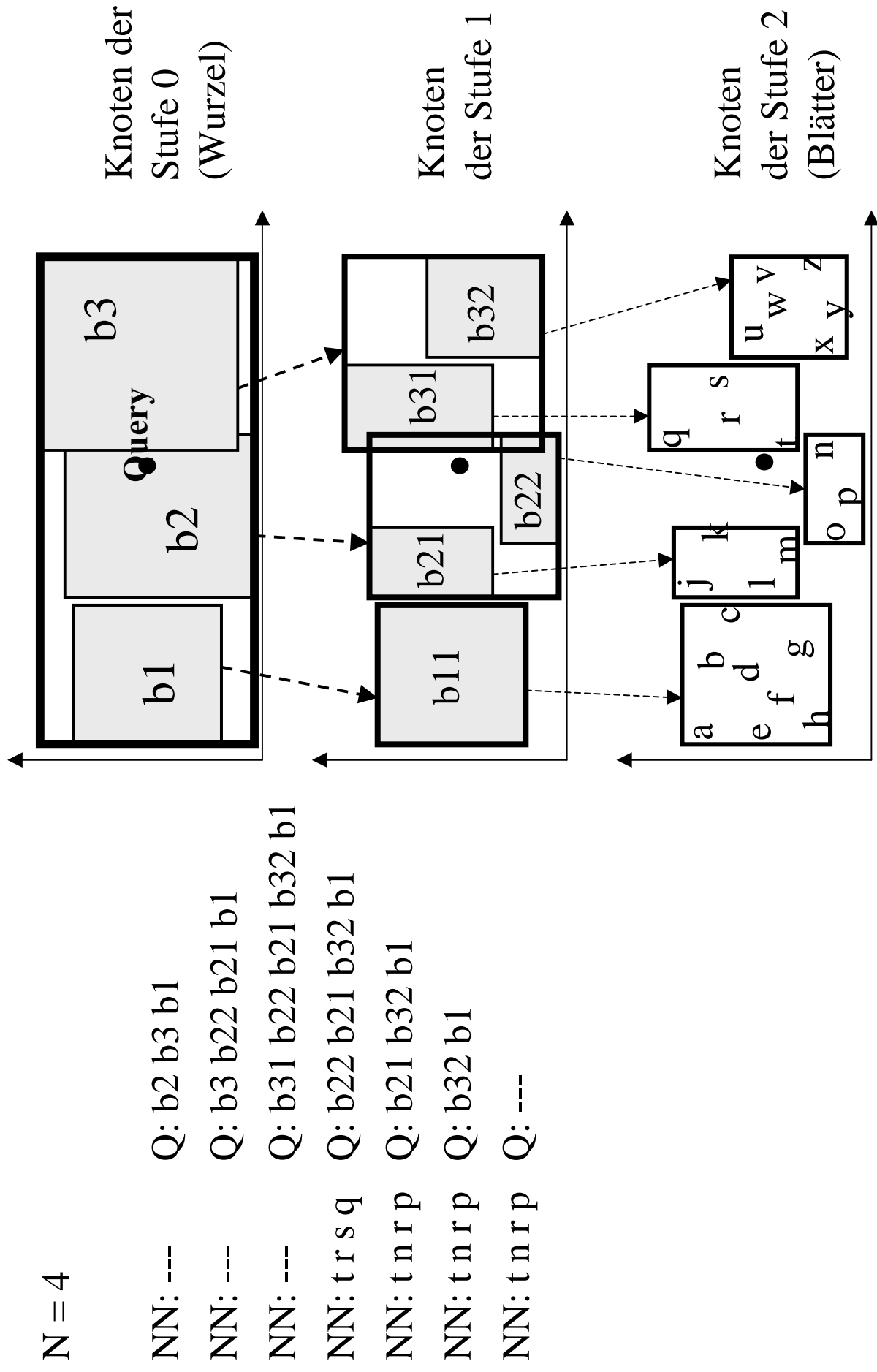
if lowerbound < max(NN[1..N].dist)

then insert(Q, b) fi

od;

until Q ist leer or dist(q, first(Q)) > max(NN[1..N].dist)

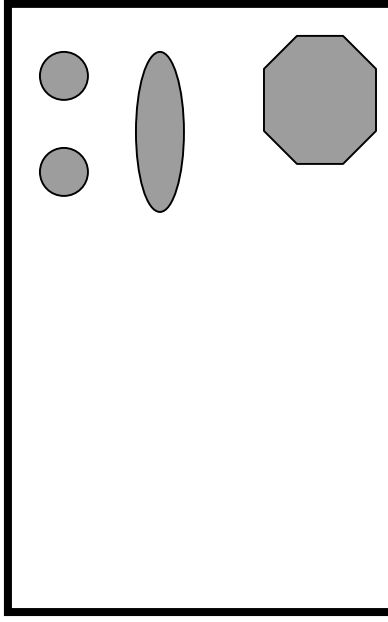
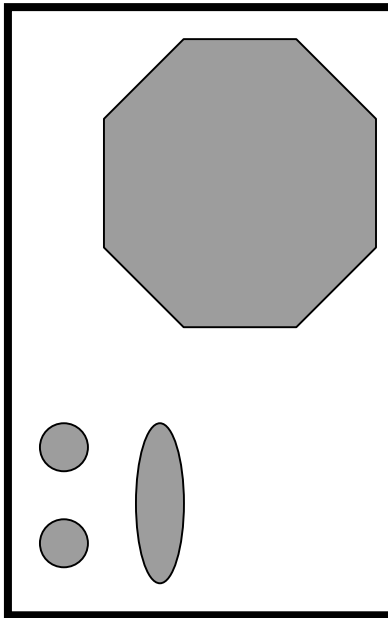
N-Nearst-Neighbor-Suche auf R-Bäumen (2)



Das WALRUS-System (Wavelet-based Retrieval of User-defined Scenes)

Ziel: Ähnlichkeitssuche auf Bildern, bei der Ähnlichkeit weitgehend skalierungs- und translationsinvariant ist

Beispiel:



sind ähnlich

- Ansatz:
- 1) Bestimme Features mittels Multiskalen-Transformation,
konkret: Wavelets
 - 2) Bestimme Features für Teilbilder (sliding windows)

Wavelet-Transformation

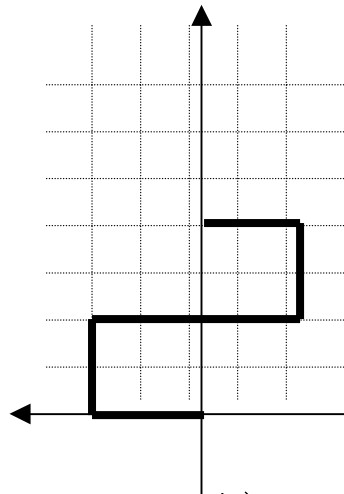
Wavelets sind Familien von Funktionen, die zur Repräsentation von Signalen in verschiedenen Skalierungsstufen geeignet sind

Mathematisch: ein Wavelet ist eine Funktion ψ mit der

$$\text{Eigenschaft} \quad 0 < 2\pi \int_R \frac{\|\hat{\psi}(x)\|^2}{\|x\|} dx < \infty$$

wobei $\hat{\psi}$ die Fourier-Transformierte von ψ ist.

Diese Eigenschaft impliziert $\frac{1}{\sqrt{2\pi}} \int_R \psi(t) dt = 0$



Beispiel: Haar-Wavelet

Haar-Wavelet-Transformation auf eindimensionalen Signalen

Die Haar-Wavelet-Transformation der Stufe k bildet Mittelwerte benachbarter Elementen der Stufe k-1 und die (zweifache) Abweichung der Elemente zum jeweiligen Mittelwert als sogenannte Detailkoeffizienten (Zerlegung des Signals in dominanten „glatten“ Anteil und untergeordnete „rauhe“ Details)

$$\text{Beispiel } x = (0 \ 0 \ 1 \ 2 \ 4 \ 4 \ 6 \ 10)$$

Haar-Wavelet-Transformierte von x:

Stufe	Mittelwerte	Detailkoeffizienten
1	(0 1.5 4 8)	(0 1 0 4)
2	(0.75 6)	(1.5 4)
3	(3.375)	(5.25)

Normierung der Detailkoeffizienten der Stufe k mit Faktor $/ \sqrt{2^{\max(k)-k}}$

Transformierte von x besteht aus Mittelwert der höchsten Stufe und normierten Detailkoeffizienten aller Stufen

$$\rightarrow x' = (3.375 \ 5.25 \ 1.06 \ 2.83 \ 0 \ 0.5 \ 0 \ 2)$$

Haar-Wavelet-Transformation auf zweidimensionalen Bildern

Ein Ansatz:

Zerlege 2D-Bild in 2x2-Boxen von Pixeln

mit linker oberer Ecke $(2i-1, 2j-1)$

und berechne Mittelwert der 4 Pixel an der Position $(2i-1, 2j-1)$

und Detailkoeffizienten für die anderen drei Positionen

procedure ComputeWavelet ($w \times w$ image I, transform W, w);

for i:=1 to w/2 do

for j=1 to w/2 do

$A[i,j] := (I[2i-1, 2j-1] + I[2i, 2j-1] + I[2i-1, 2j] + I[2i, 2j]) / 4;$

$W[w/2+i, j] := (-I[2i-1, 2j-1] + I[2i, 2j-1] - I[2i-1, 2j] + I[2i, 2j]) / 4;$

$W[i, w/2+j] := (-I[2i-1, 2j-1] - I[2i, 2j-1] + I[2i-1, 2j] + I[2i, 2j]) / 4;$

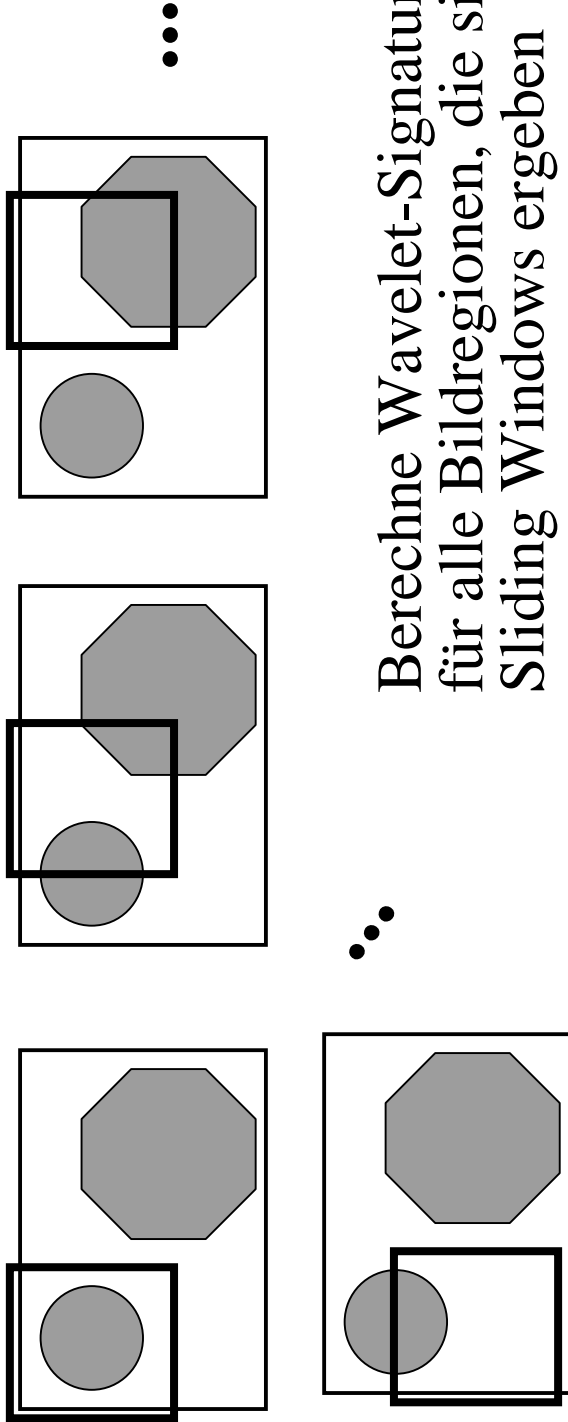
$W[w/2+i, w/2+j] := (I[2i-1, 2j-1] - I[2i, 2j-1] - I[2i-1, 2j] + I[2i, 2j]) / 4;$

od; od;

if $w > 2$ then ComputeWavelet (A, W, w/2)

else $W[1, 1] := A[1, 1]$ fi;

Bildähnlichkeit in WALRUS



Berechne Wavelet-Signaturen
für alle Bildregionen, die sich durch
Sliding Windows ergeben

Zum Vergleich von Bildern d und q mit Regionsmengen D und Q:

- 1) Finde ähnliche Regionspaare $x \in D, y \in Q$ mit $\text{sim}(x,y) \geq \varepsilon$
- 2) Berechne Gesamtähnlichkeit von d und q mit ähnlichen Regionspaaren $(x_1, y_1), \dots, (x_m, y_m)$ auf der Basis von

$$\text{sim}(d,q) = \frac{\text{area}(\bigcup_{i=1}^m x_i) + \text{area}(\bigcup_{i=1}^m y_i)}{\text{area}(d) + \text{area}(q)}$$

plus Besonderheiten
zur Effizienzsteigerung

Features zur Klassifikation und Ähnlichkeitssuche auf Videos

Viele Ansätze und Techniken:

- Bestimmung von Kanten (Konturen) in einzelnen Frames durch Analyse der Intensitätsänderung von Pixeln
- Bestimmung von Kameraschnitten (Shots) durch Analyse der Kantenbewegungsrate (Motion Rate) in aufeinanderfolgenden Frames
- Analyse der zeitlichen Verteilung von Kameraschnitten (z.B. nützlich für Erkennung von Videopiraterie)
- Repräsentation eines Videos durch Schluessel-Frames (z.B. je ein Frame pro Shot oder Scene)
- Erkennen von Untertiteln, Gesichtern, Stimmung (z.B. mit Lernen entsprechender Farbverteilungen anhand von Trainingsdaten) etc.
- Analyse der gesprochenen Sprache
- Ausnutzen von Annotationen (z.B. MPEG-7-Metadaten)